

05.2; 09

© 1992

РЕЗОНАНСНОЕ ПЕРЕРАСПРЕДЕЛЕНИЕ ПОЛЕЙ МОД В СИСТЕМЕ $NiOFe_2O_3 - Cu - Al_2O_3$

В.В. Г у щ и н

Стимулом для проведения исследований многослойных анизотропных структур является потребность срочной разработки на их основе невзаимных электронных схем в интегральном исполнении [1, 2]. В диапазоне крайне высоких частот (КВЧ – миллиметровый и субмиллиметровый диапазоны) наиболее низкими потерями обладают волноводы в виде слоя из Al_2O_3 (99.5% , $t g \delta = 2 \cdot 10^{-4}$, $\epsilon_r^0 = 10$). В настоящей работе исследуются особенности распространения миллиметровых волн ($\lambda_0 = 8.33$ мм) в системе $NiOFe_2O_3 - Cu - Al_2O_3$ при малых ($H_1 < 0.1$ Нреэ) полях подмагничивания анизотропного слоя. В тонких слоях коэффициент замедления $K_{зам} = \frac{\lambda_0}{\lambda_{зам}}$ является функцией толщины, поэтому электромагнитные параметры слоев феррита $\epsilon_r^0, \mu'_1 = \frac{\mu^2 - \mu_a^2}{\mu}$ и диэлектрика ϵ_r^0 входят в соотношения, как эффективные. Известно [3], что выбором толщины слоев можно добиться распространения только низших мод в каждом слое: в диэлектрике Al_2O_3 – TM_0 мода, в феррите $NiOFe_2O_3$ при поперечном намагничивании – гибридная $TM_0 + TE_{11}$ мода. Установлено [4], что в проводнике Cu при толщине слоя $\tau_c \leq K \frac{2\lambda_0}{\sigma_c \mu_c}$, где σ_c и μ_c – проводимость и магнитная проницаемость Cu соответственно, $K = 1$ коэффициент, согласующий размерность, распространяется слабо затухающая несимметричная HE_{11} мода, не имеющая отсечки. Такой слой Cu является направляющей плоскостью, а волноводом гибридной моды с распределением компоненты E_z^0 по закону гиперболического синуса, равной нулю в центре сечения. На рис. 1 представлена зависимость коэффициента замедления $K_{зам} = \lambda_0 / \lambda_{зам}$ моды $TM_0 + TE_{11}$ в слое феррита $NiOFe_2O_3$ ($\epsilon_r^0 = 10.4$, $t g \delta = 1.1 \cdot 10^{-2}$) от высоты подъема h феррита над проводящим слоем Cu ($\sigma_c = 5.8 \cdot 10^7 \frac{сим}{м}$, $d = 0.066 \cdot f^{-\frac{1}{2}} \text{м}$). В противоположность классическим данным $K_{зам}$ уменьшается с увеличением зазора. Это вызвано наличием замедления гибридной моды в слое Cu , которое ранее не учитывалось. На этом же рисунке приведена зависимость компоненты ближнего поля $|E_z^0|$ поверхностной моды $TM_0 + TE_{11}$ ферритового слоя в функции того же аргумента $h/\lambda_0 \cdot 10^{-2}$.

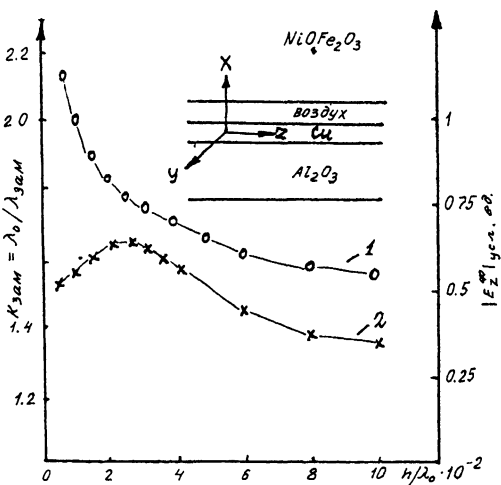


Рис. 1. Зависимость коэффициента замедления $K_{зам} = \frac{\lambda_0}{\lambda_{зам}}$ (1) и компоненты поля $|E_z^0|$ (2) моды $TM_0 + TE_1$ от высоты подъема h феррита над проводящим слоем Cu .

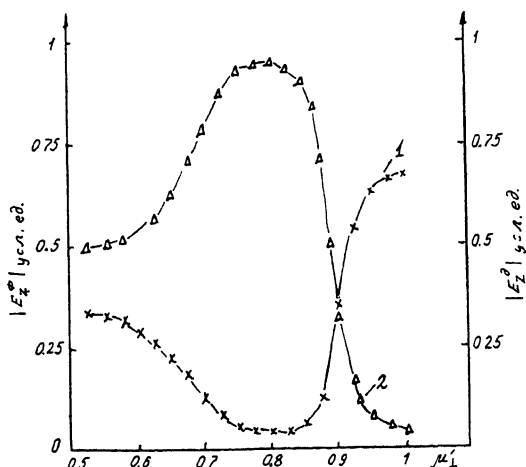


Рис. 2. Зависимость компоненты поля $|E_z^0|$ (1) моды $TM_0 + TE_1$ и компоненты поля $|E_z^0|$ (2) моды TM_0 от $\mu_1 = \frac{\mu_2 - \mu_a}{\mu}$.

Зависимость показывает, что существует расстояние, на котором компонента $|E_z^P|$ максимальна для данного анизотропного слоя. Это является следствием того, что эффективная диэлектрическая проницаемость имеет оптимальное значение. На рис. 2 приведена зависимость компоненты $|E_z^P|$ ближнего поля поверхности моды $TM_0 + TE_{11}$ и компоненты ближнего поля $|E_z^S|$ поверхности моды TM_0 от эффективной магнитной проницаемости $\mu_1 = \frac{\mu_1' \mu_2}{\mu}$ при поперечном (вдоль оси y) намагничивании. Здесь явно выражено скачкообразное перераспределение поля в слоях системы при изменении μ_1' . Это обусловлено равенством разности фазовых скоростей $TM_0 + TE_{11}$ моды в анизотропном слое и TM_0 моды в слое Al_2O_3 и разности фазовых скоростей гибридной моды в слое Cu и в воздухе. То есть существует определенное соотношение фазовых скоростей в слоях системы $NiOFe_2O_3 - Cu - Al_2O_3$, которая однозначно определяет перераспределение энергии полей мод в слоях и является необходимым и достаточным условием проявления наблюдаемого явления. Таким образом, в работе описано явление перераспределения энергии полей мод в трехслойной системе при совпадении (резонансе) разностей фазовых скоростей мод в проводнике Cu и прилегающих к нему слоях $NiOFe_2O_3$ и Al_2O_3 . Учет резонанса является необходимым при разработке невзаимных интегральных схем, так как представляется возможным проводить итерацию в диапазон КВЧ при малых полях подмагничивания.

Список литературы

- [1] Гущин В.В., Зынь В.И. Тез. докладов 8-й Всесоюзной научно-технической конференции по СВЧ ферритовой технике. Л., 1974. Т. 2. С. 19-21.
- [2] Гущин В.В. // Тез. докладов 12-й Всесоюзной научно-технической конференции по СВЧ ферритовой технике. Л., 1982. Т. 3. С. 36-38.
- [3] Уолтер К. Антенны бегущей волны. М.: Энергия, 1970. 448 с.
- [4] Гущин В.В. // Тез. докладов 16-го Всесоюзного семинара „Гиромагнитная электроника и электродинамика“. Куйбышев, 1990. 123 с.

Поступило в Редакцию
13 февраля 1992 г.